

УДК 524.352+524.722.3

Фотометрические и спектральные наблюдения Сверхновой 1987A

Х. А. Селайя, А. П. Видымченко

Представлены фотометрические (U, B, V, R) и спектральные наблюдения Сверхновой 1987A, выполненные в Боливийско-Советской обсерватории близ г. Тариха (Боливия) в апреле — августе 1987 г.

PHOTOMETRIC AND SPECTRAL OBSERVATIONS OF THE SUPERNOVA 1987A, by Zelaya J. A., Vid'machenko A. P.— Photometric (U, B, V, R) and spectral observations of the Supernova 1987A obtained at the Tarija Observatory (Bolivia) on April—August, 1987 are presented.

В Боливийско-Советской обсерватории близ г. Тариха (Боливия) выполнены фотометрические (U, B, V, R) и спектральные наблюдения Сверхновой 1987A в Большом Магеллановом Облаке. Использовался спектрофотополяриметр, установленный в фокусе Кассегрена ($F=7.5$ м) 60-см рефлектора Цейса.

Фотометрия. В качестве звезды сравнения используется δ Дор, которая находится вблизи Сверхновой. Величины U, B, V, R ее близки к тем, которые имела Сверхновая в период с апреля по август 1987 г. Сверхновая и звезда сравнения наблюдались при практически равных воздушных массах: различие ни в одну из ночей не превышало 0.07. Для прозрачности атмосферы в условиях обсерватории это дает ошибки определения блеска в фильтрах U, B, V, R соответственно 0.05, 0.03, 0.02 и 0.01^m .

На рис. 1 приведены результаты наблюдений за период с 7 апреля по 9 августа 1987 г. (точки). Кружки показывают величины, найденные по спектральным наблюдениям Сверхновой и δ Дор, выполняемым нами с 7 марта (точность этих данных несколько ниже).

Условия наблюдений Сверхновой 1987A

Характеристика	Дата наблюдений		
	29/30.04.87	28/29.05.87	06/07.07.87
Время начала записи спектров			
Сверхновая	23 ^h 29 ^m	23 ^h 27 ^m	09 ^h 07 ^m
Стандарт	23 ^h 53 ^m	23 ^h 47 ^m	09 ^h 19 ^m
Воздушная масса в начале записи спектра			
Сверхновая	1.99	2.88	2.79
Стандарт	2.02	3.10	2.82
Спектральный диапазон, нм			
Сверхновая	390—800	390—760	390—800
Стандарт	390—720	390—760	390—800
Шаг сканирования, нм			
Сверхновая	2	2	1
Стандарт	5	4	1
Спектральное разрешение спектрометра, нм	11.8	2.7	4
Звездные величины			
U	7.82±0.05	7.45	8.76
B	5.01±0.04	4.95	6.38
V	2.95±0.02	2.93	4.18
R	2.05±0.02	1.96	2.98

Как видно из рисунка, вскоре после быстрого начального подъема происходило небольшое его падение (примерно на 0.2^m в фильтре V и несколько большее в фильтре B). Причем задержка в увеличении блеска в фильтре V оставила менее 8^d , тогда как в фильтре B уменьшение блеска продолжалось до 22/23 марта, т. е. почти в три раза дольше. После некоторой задержки Сверхновая опять стала увеличивать свой блеск и достигла максимума между 15 и 25 мая. В период с 7 апреля до момента максимума блеск Сверхновой более всего (на 1.04^m) увеличился в фильтре U . Увеличение блеска в фильтрах B , V , R составило соответственно 0.75, 0.65 и 0.62^m . В фильт-

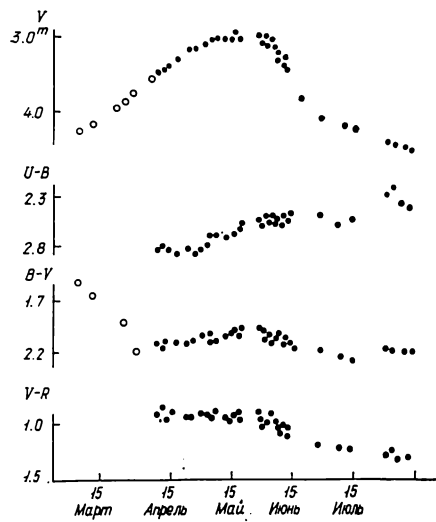


Рис. 1. Кривые блеска и цвета Сверхновой 1987А

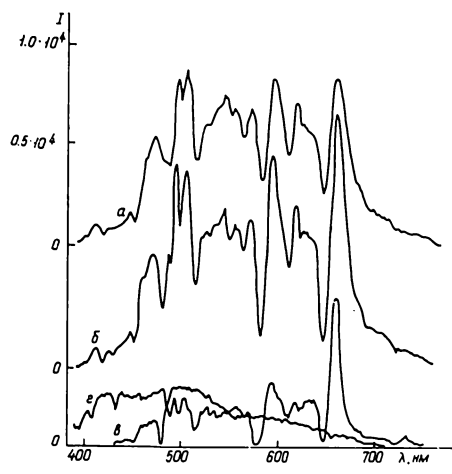
Рис. 2. Регистрограммы спектров Сверхновой 1987А (*а* — 29/30.04.87; *б* — 28/29.05.87; *в* — 06/07.07.87) и звезды сравнения δ Dor (*г*)

ре U блеск увеличивался практически по линейному закону со средней скоростью около 0.02^m в сутки с ярко выраженным максимумом. При переходе в длинноволновую область скорость увеличения блеска со временем прогрессивно уменьшалась. Образовался широкий асимметричный максимум. В дальнейшем, с 26 мая по 11 июля, произошло падение блеска на 1.67, 1.66, 1.41 и 1.33^m соответственно в U , B , V , R . Необходимо отметить, что скорость уменьшения блеска Сверхновой была почти вдвое больше скорости его подъема. Как видно из кривой $B - V$, сразу после первичного максимума в конце февраля и после повторного максимума в конце мая наблюдалось покраснение Сверхновой. Кривая $V - R$ показывает, что в ближней ИК-области до повторного максимума цвет Сверхновой практически не изменялся, а после максимума происходило ее постепенное покраснение. Последнее вызвано несколько большей скоростью падения блеска в фильтре V , чем в фильтре R . Показатель цвета $U - B$ свидетельствует о постепенном увеличении со временем вклада УФ-излучения в общий баланс энергии Сверхновой.

Спектрофотометрия. Общие характеристики условий наблюдений приведены в таблице, в которой даны величины U , B , V , R Сверхновой, полученные нами в те же даты со светофильтрами. На рис. 2 представлены регистрограммы спектров Сверхновой 1987А и звезды сравнения δ Dor. Потоки редуцированы на размер выходной щели, эквивалентной разрешению спектрометра $R=4$ нм, и приведены к одинаковой для всех дат воздушной массе 2.0.

Показанные на рис. 2 спектры получены за 1 мес до достижения Сверхновой максимального блеска (*а*), в момент, близкий к максимуму блеска (*б*), и через 1 мес после этого (*в*).

Необходимо отметить ряд особенностей в изменениях блеска и спектра Сверхновой 1987А, которыми она отличается от других Сверхновых. Обычно в максимуме блеска и через неделю после него в спектрах Сверхновых I типа не наблюдаются резкие детали. Спектр выглядит практически сплошным, но его УФ-область ослаблена. И только через неделю после максимума становятся заметными яркие полосы и тем-



ные промежутки. Со временем контраст между ними постепенно увеличивается. Спектры Сверхновых II типа изменяются аналогично, но в первые недели у них УФ-область спектра ярче.

У Сверхновой 1987A УФ-часть спектра была ослаблена на протяжении всего периода наших наблюдений — с 7 марта по 9 июля 1987 г.

В то же время очень медленный подъем ее блеска (звезда достигла максимума приблизительно через 100 сут после обнаружения) и наличие эмиссионных линий водорода характерны для Сверхновых II типа. У Сверхновой 1987A эмиссионная линия водорода H_{β} стала видна в спектре приблизительно за 40 сут до максимума.

Боливийско-Советская обсерватория, Тариха (Боливия),
Глав. астрон. обсерватория АН УССР, Киев

Поступила в редакцию
19.08.87

РЕФЕРАТ ДЕПОНИРОВАННОЙ РУКОПИСИ

УДК 523.4—357

**ЛАБОРАТОРНЫЕ ИССЛЕДОВАНИЯ ОТРИЦАТЕЛЬНОЙ ПОЛЯРИЗАЦИИ СВЕТА,
РАССЕЯННОГО ПОВЕРХНОСТЯМИ СО СЛОЖНОЙ СТРУКТУРОЙ. НЕКОТОРЫЕ
СЛЕДСТВИЯ ДЛЯ БЕЗАТМОСФЕРНЫХ КОСМИЧЕСКИХ ТЕЛ. IV / Шкуратов Ю. Г.**

(Рукопись деп. в ВИННИТИ; № 9013-B87)

Представлены результаты измерений отрицательной поляризации света (ОПС), рассеянного металлическими порошками. Показано: 1) среди исследованных грубозернистых образцов наиболее выраженную ОПС имеют образцы с альбедо около 20 %; 2) действительная часть показателя преломления металлов оказывает слабое воздействие на ОПС; 3) окрашенные металлы в отличие от нейтральных по спектру имеют сильную зависимость a_{in} от длины волны; 4) ОПС металлов усиливается при уменьшении размеров частиц и ослабевает при спрессовывании образцов; 5) оптическая гетерогенность таких образцов (в отличие от диэлектриков) не приводит к усилению ОПС; 6) реакция ОПС металлов на изменение фотометрических «широкот» и «долгот» противоположна наблюдающейся у диэлектриков. У некоторых металлических образцов с высоким альбедо и выровненной поверхностью обнаружена ОПС не при малых, а при больших углах фазы. Ее возникновение связывается с дифракцией Зоммерфельда на краях шероховатостей поверхности. На основе полученных экспериментальных данных проведен критический анализ некоторых теоретических моделей образования ОПС. В частности, сделан вывод о том, что известные количественные расхождения теории Вольфа и измерений ОПС металлов следует трактовать как неспособность этой теории описывать ОПС безатмосферных космических тел.